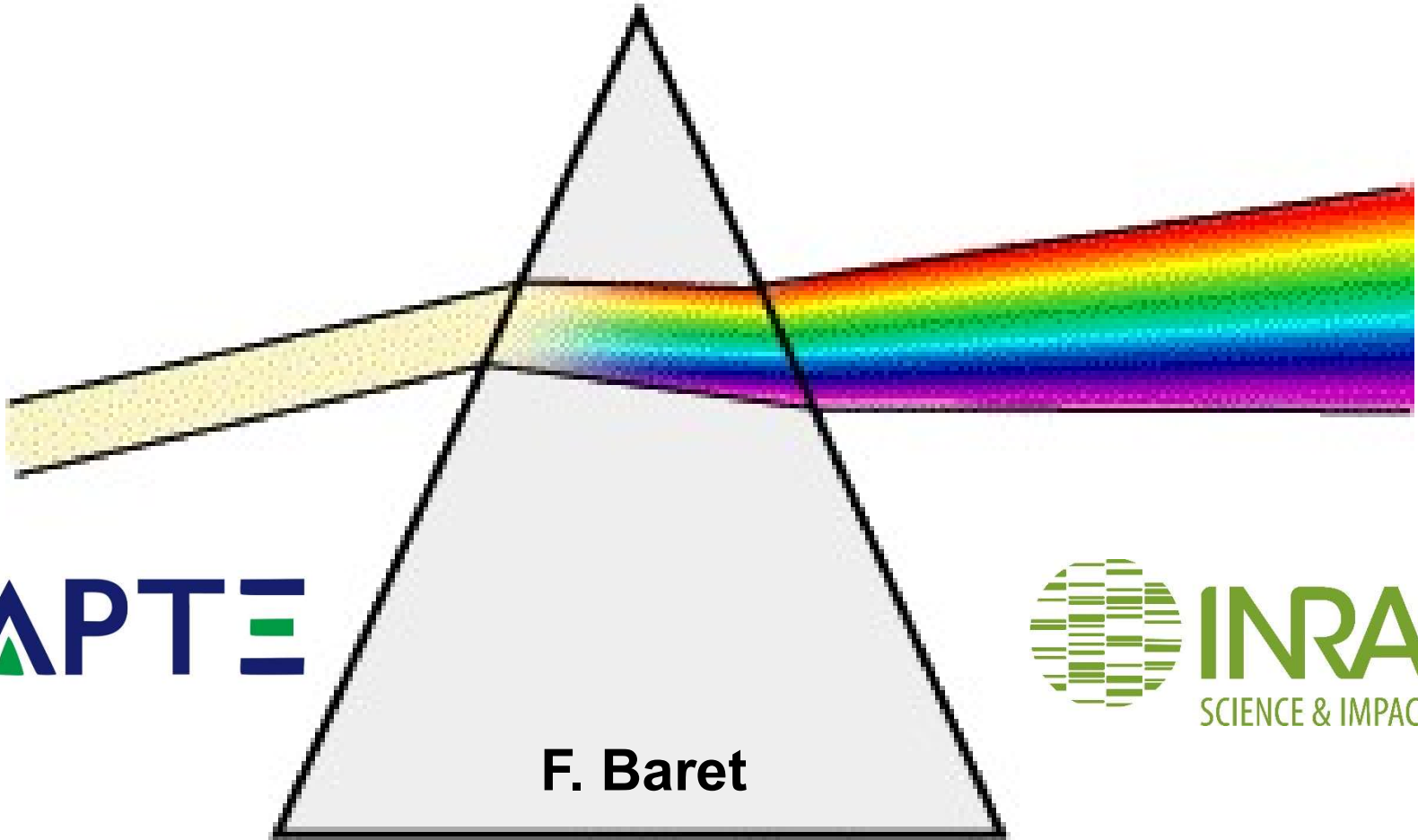


Bases de la Radiometrie



InnObs, Montpellier, 19/11/2019

Plan: Introduction

Definitions

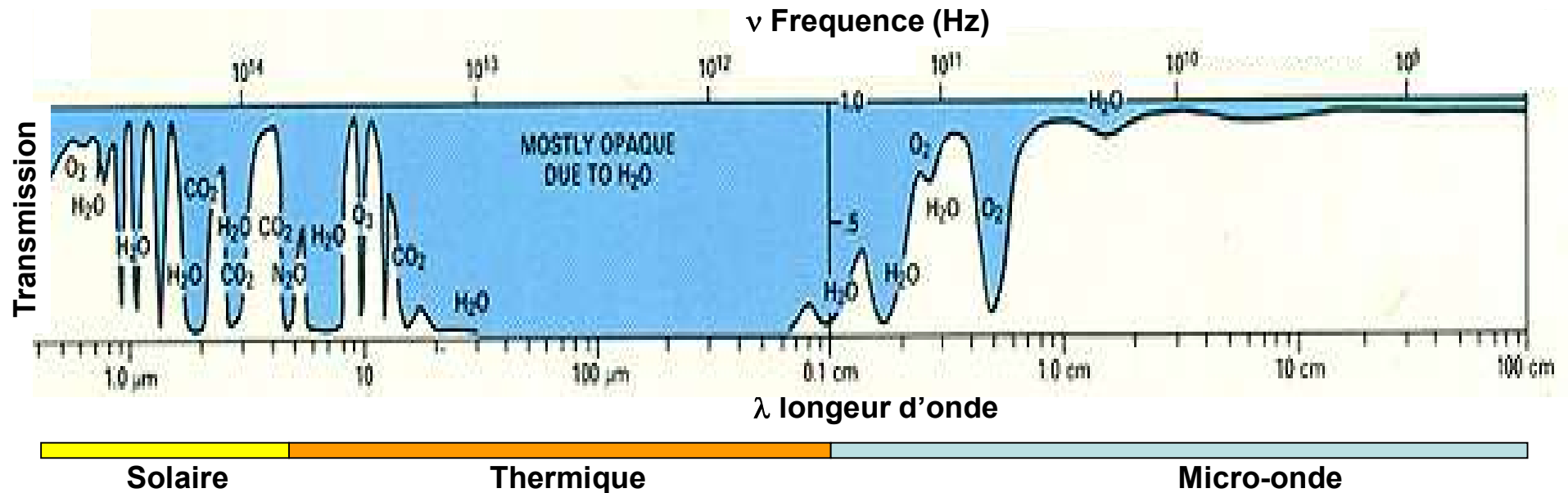
- Les domaines spectraux
- Réflectance: définition
- Directionnalité

Processus Physiques

- Diffusion
- Absorption

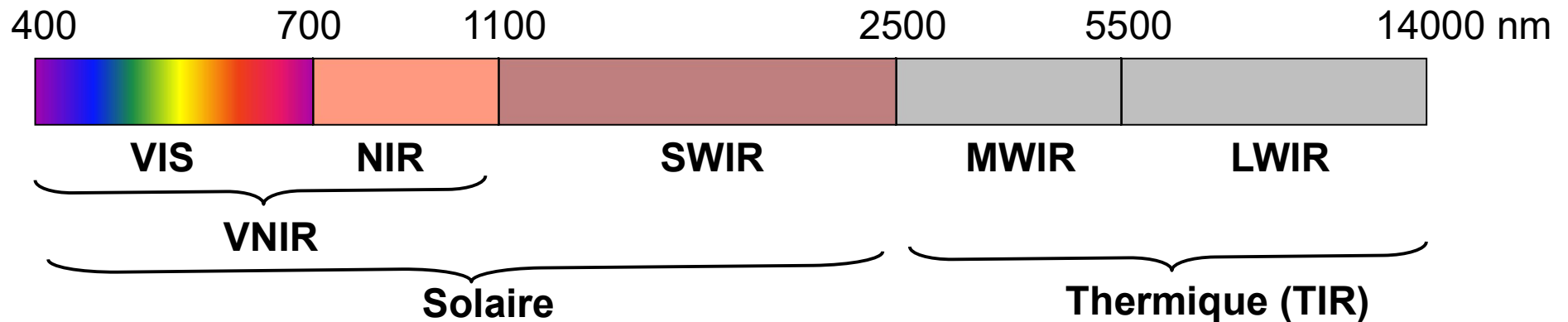
Les domaines spectraux

$$c = \lambda \nu$$



On se concentre dans le domaine solaire réfléchif: $0.4-2.5 \mu\text{m}$

Domaine solaire réfléchif

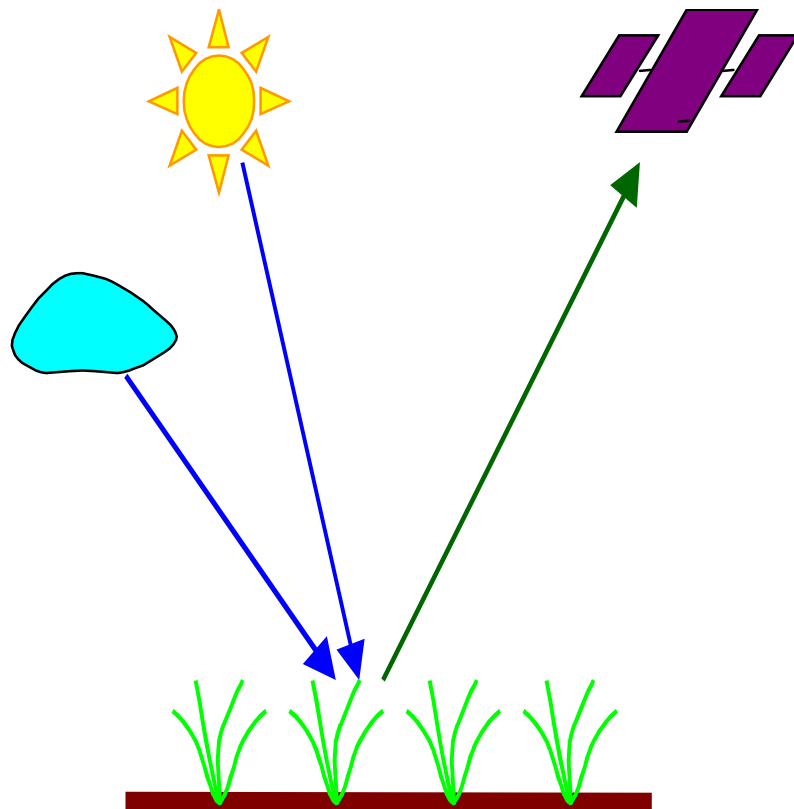


Différents types d'instruments

	bands	$\Delta\lambda/\lambda$	VNIR	SWIR	TIR
Multispectral	5-10	0.1	50-100	100-200	1000-2000
Superspectral	10-20	0.05	20-50	50-100	500-1000
Hyperspectral	100-200	0.01	5-20	10-50	100-500
Ultraspectral	-	0.001	0.1-5	0.2-10	20-100

Continuité entre bandes

Mesure dans le domaine visible - proche IR (0.4 - 2.5 μm)

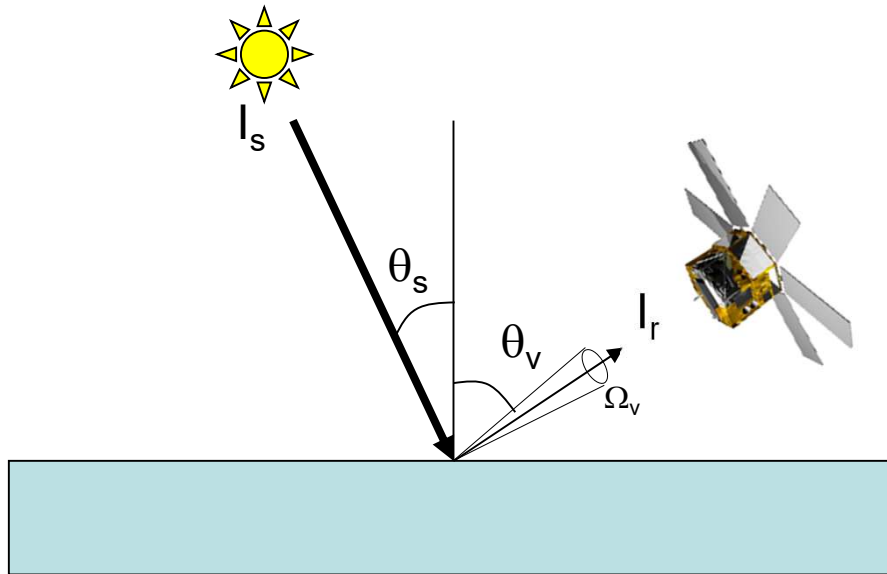


Rayonnement réfléchi :

$$L_R = \rho(\lambda) E_i$$

$\rho(\lambda)$: reflectance

Reflectance: définition



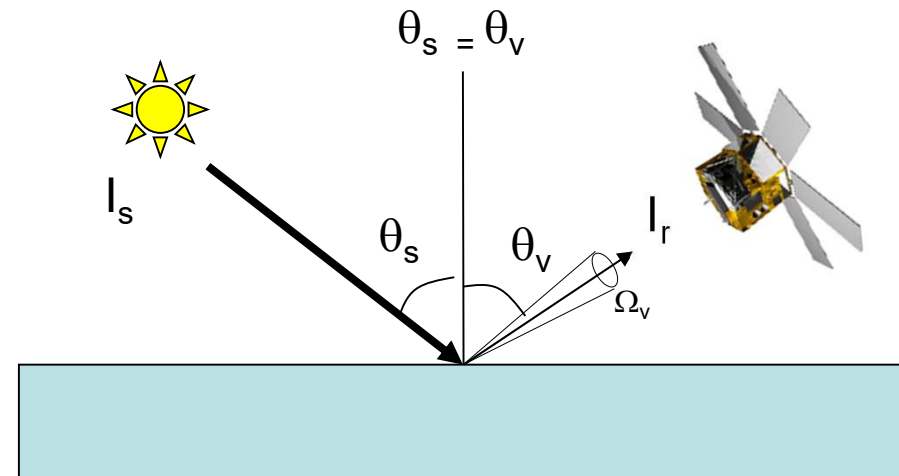
$$\text{Reflectance} = \frac{\int_{\Omega_v} I_v(\theta_v, \phi) \cdot \cos \theta_v \cdot d\Omega_v}{I_s}$$

Facteur de réflectance: ratio entre le flux réfléchi et celui réfléchi par un diffuseur parfait (blanc, lambertien)

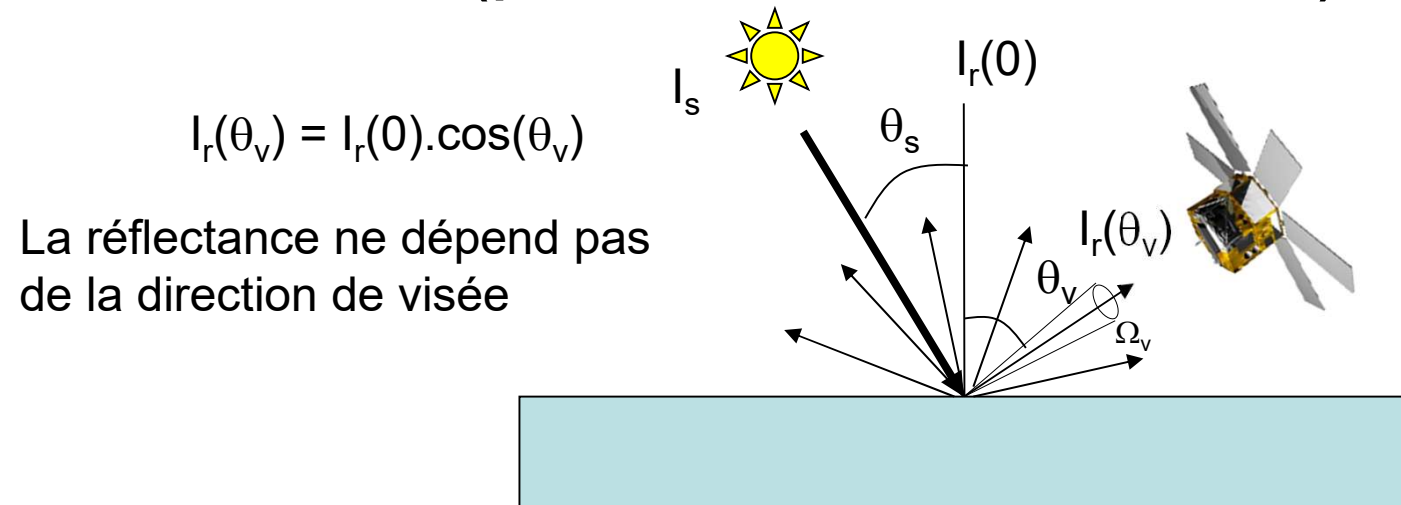
$$\text{facteur de reflectance} = R = \pi \frac{\int_{\Omega_v} I_v(\theta_v, \phi) \cdot \cos \theta_v \cdot d\Omega_v}{I_s}$$

Différents types de diffusion

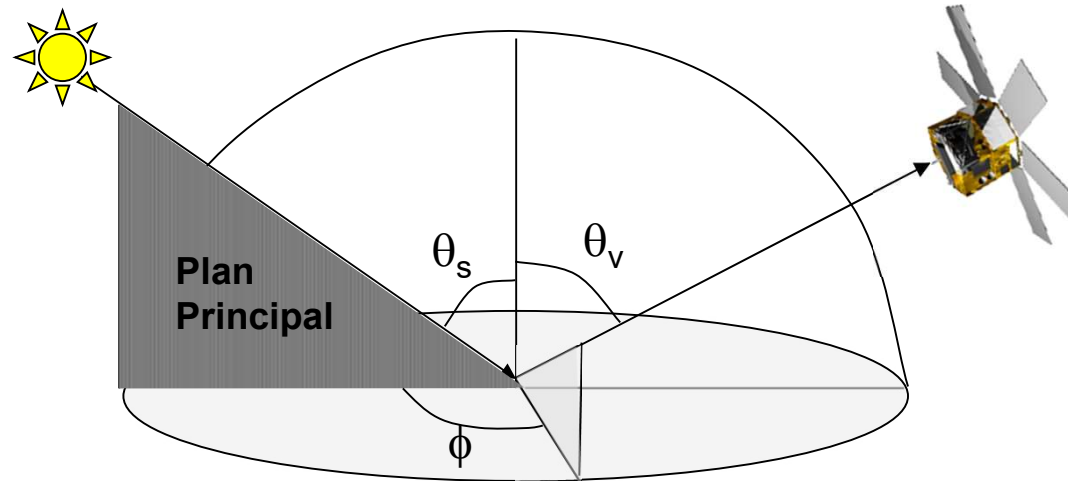
❑ Réflectance spéculaire (miroir)



❑ Réflectance diffuse (parfaite, lambertienne)



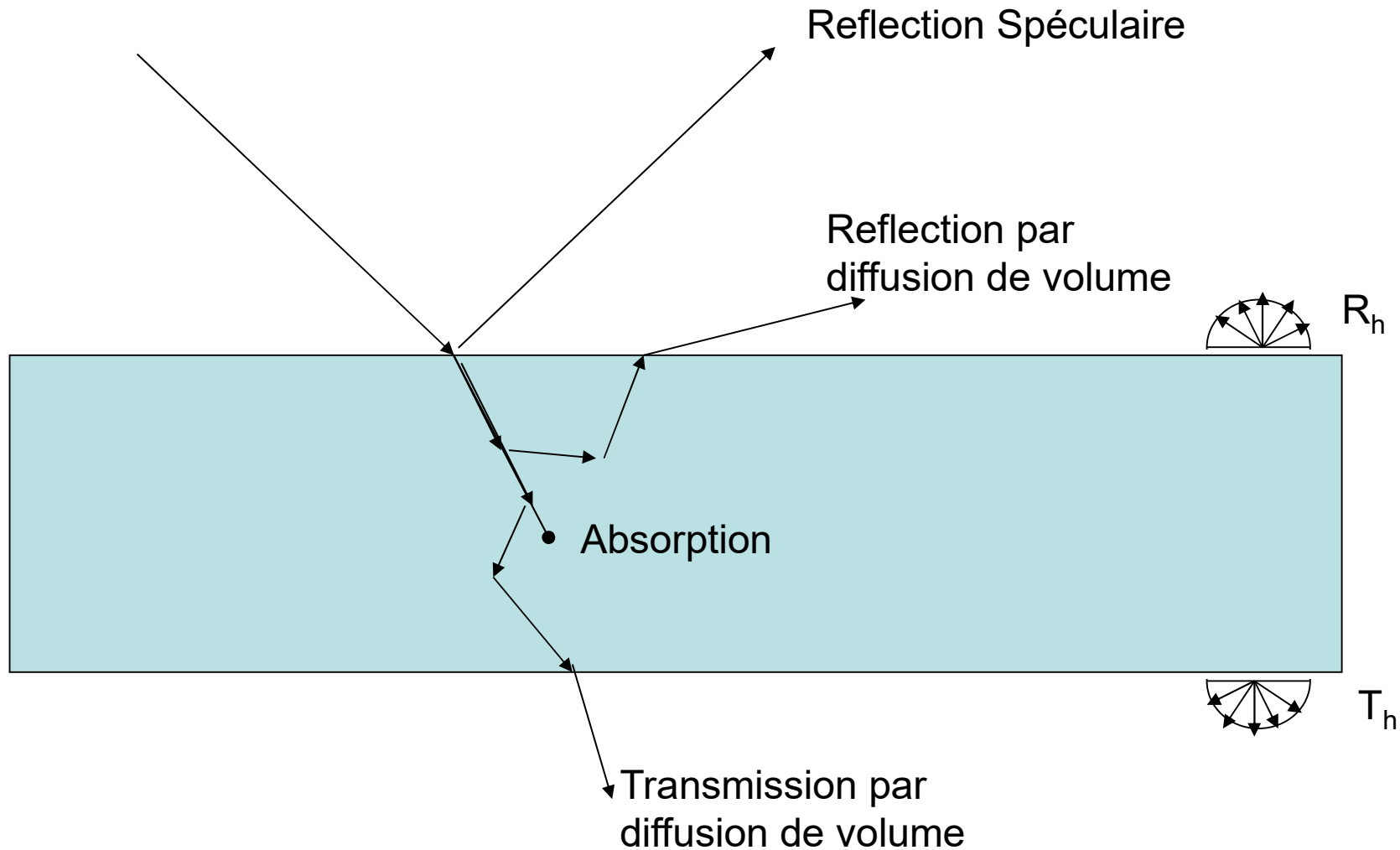
Géométrie de la mesure



BRDF: Bi-directional Reflectance Distribution Function

visée incidence	Directionnel	Hémisphérique
Directionnel	Bi-directionnel	Hemispherique- directionnel
Hémisphérique	Directionnel- hémisphérique	Bi-hémisphérique

Processus physiques: Diffusion et Absorption



conservation de l'énergie pour les flux hemispheriques: $R_h + T_h + A = 1$

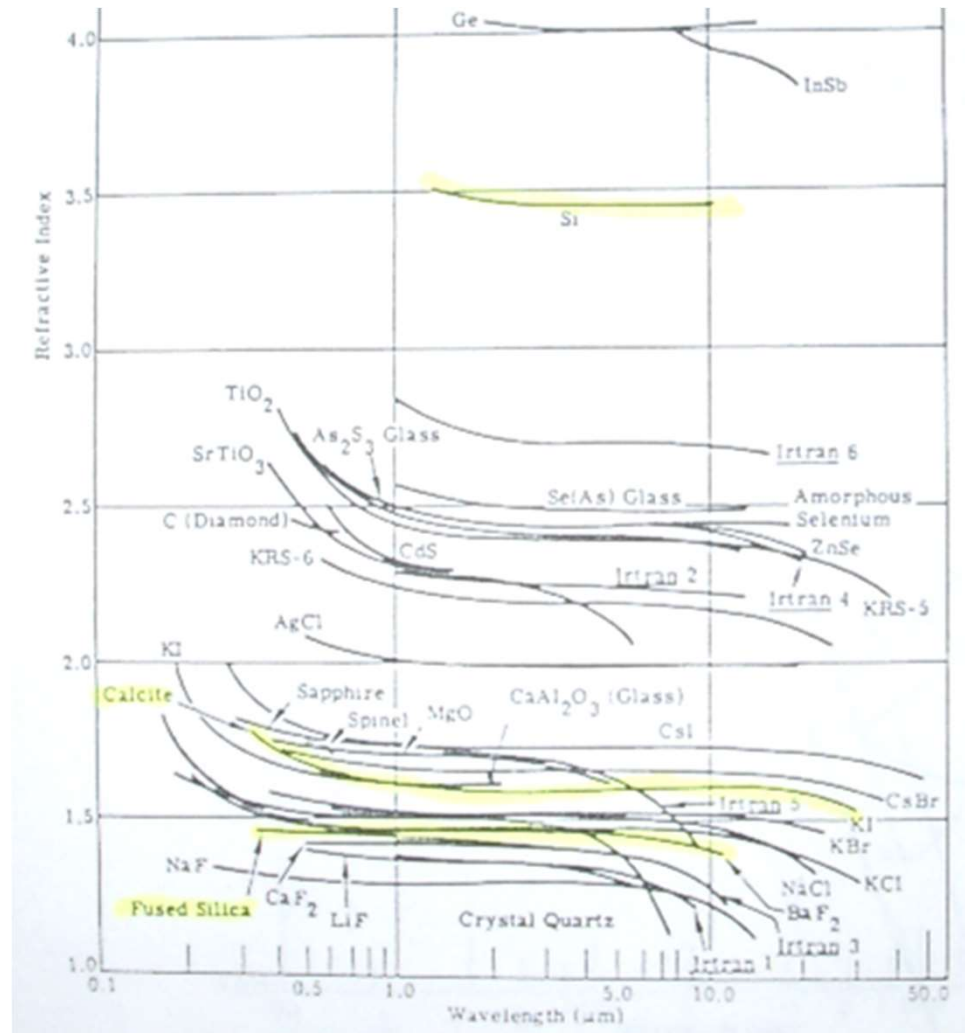
Processus élémentaires

absorption et diffusion sont décrits
par l'indice de réfraction complexe du milieu (N)

$$N = \begin{array}{|c|} \hline \text{Diffusion} \\ \hline n \\ \hline \text{Partie réelle} \\ \hline 0.02 < \frac{dn}{d\lambda} < 0.1 \mu\text{m}^{-1} \\ \hline \text{Dépendance} \\ \text{spectrale} \\ \text{faible} \\ \hline \end{array} + \begin{array}{|c|} \hline \text{Absorption} \\ \hline iK \\ \hline \text{Partie imaginaire} \\ \hline k = 4 \frac{K}{\lambda} \\ \hline \text{Dépendance} \\ \text{spectrale} \\ \text{forte} \\ \hline \end{array}$$

Indice de réfraction complexe

Indice de réfraction des matériaux



From Wolfe and Zissis, 1978

L'indice de réfraction varie assez spectralement peu dans le domaine solaire

Processus de diffusion: fonction de phase

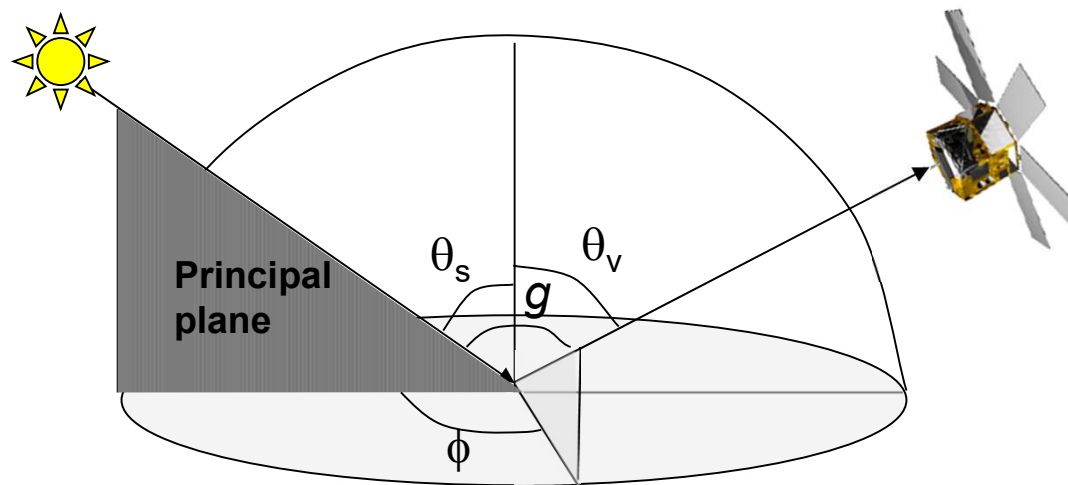
La diffusion dépend principalement de:

- La partie réelle de l'indice de réfraction (n)
- La taille des particules: $\pi.D/\lambda$

La fonction de phase, $\Phi(g)$, décrit la probabilité de diffusion dans une direction donnée par l'angle de phase (g) entre direction d'incidence et de visée

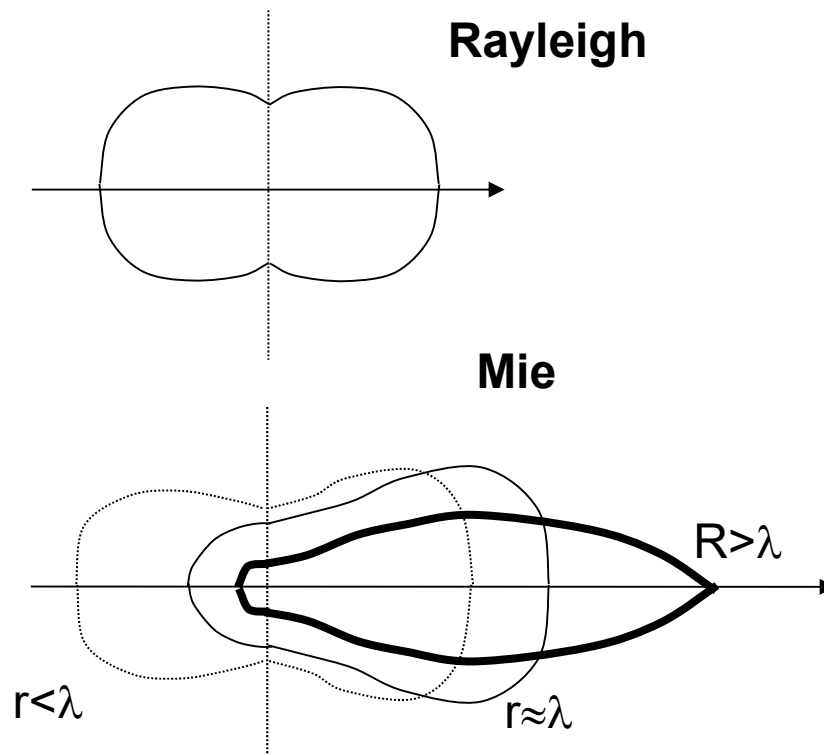
$$g = \text{phase angle} = \arccos(\cos(\theta_s) \cdot \cos(\theta_v) + \sin(\theta_s) \cdot \sin(\theta_v) \cdot \cos(\phi))$$

$$\int_{4\pi} \Phi(g) dg = 1$$

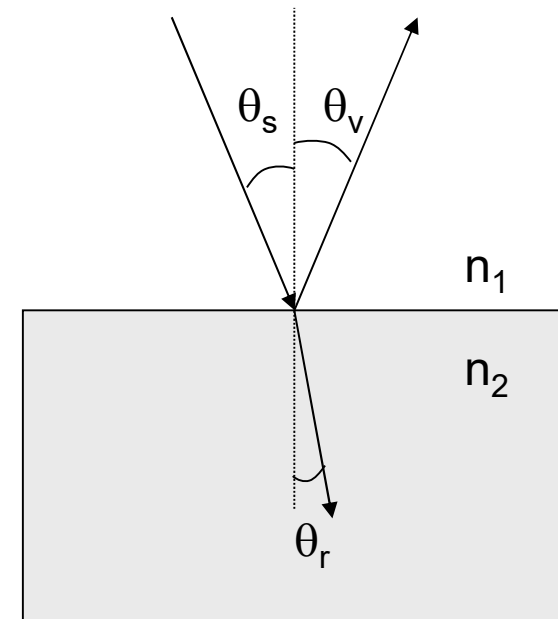


Processus de diffusion

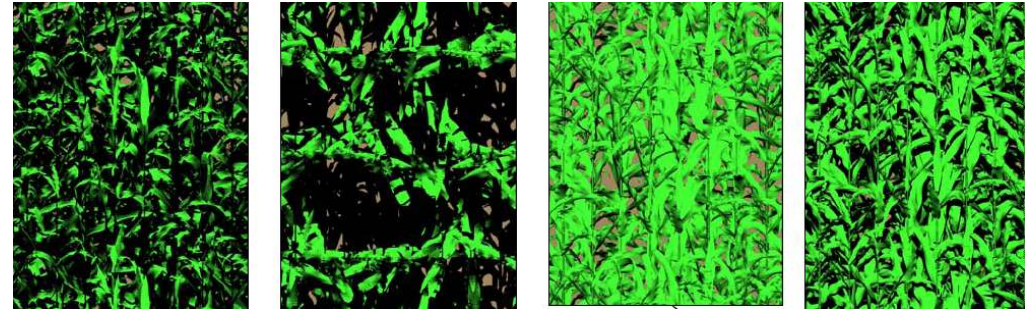
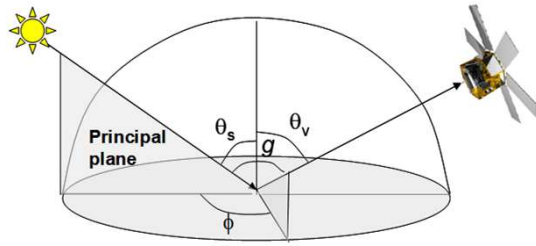
Type of scattering		Relative diameter	Spectral dependance	Phase function	Elements
Volume scattering	Rayleigh	$\frac{\pi \cdot D}{\lambda} < \frac{0,6}{n}$	$\tau(\lambda) = \tau(\lambda_0) (\lambda/\lambda_0)^{-4}$	symmetrical	Molecules (Water, atmosphere, ...)
	Mie	$5 < \frac{\pi \cdot D}{\lambda} < \frac{0,6}{n}$	$\tau(\lambda) = \tau(\lambda_0) (\lambda/\lambda_0)^{-1}$	forward	Aerosols
Surface reflection/refraction		$\frac{\pi \cdot D}{\lambda} > 5$	$\rho(\lambda) \approx \rho(\lambda_0)$	$\theta_s = \theta_v$ / $n_1 \cdot \sin \theta_s = n_2 \cdot \sin \theta_r$	Leaf or background facets



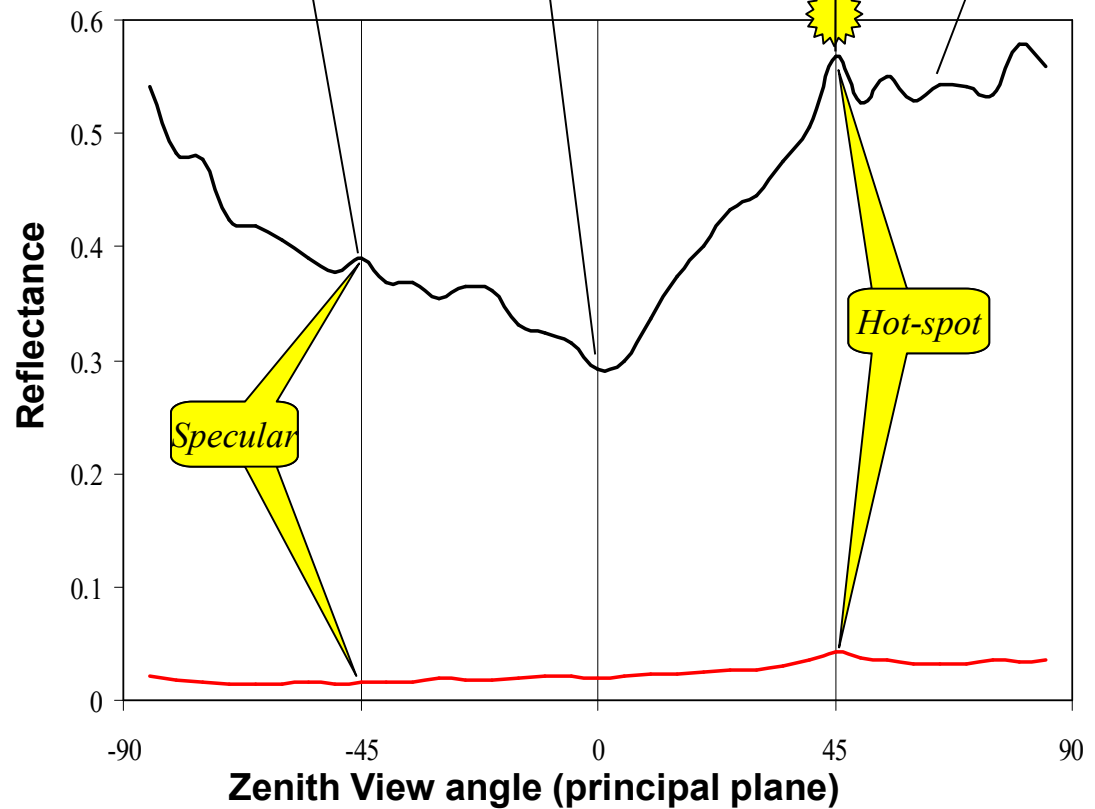
Réflexion et réfraction



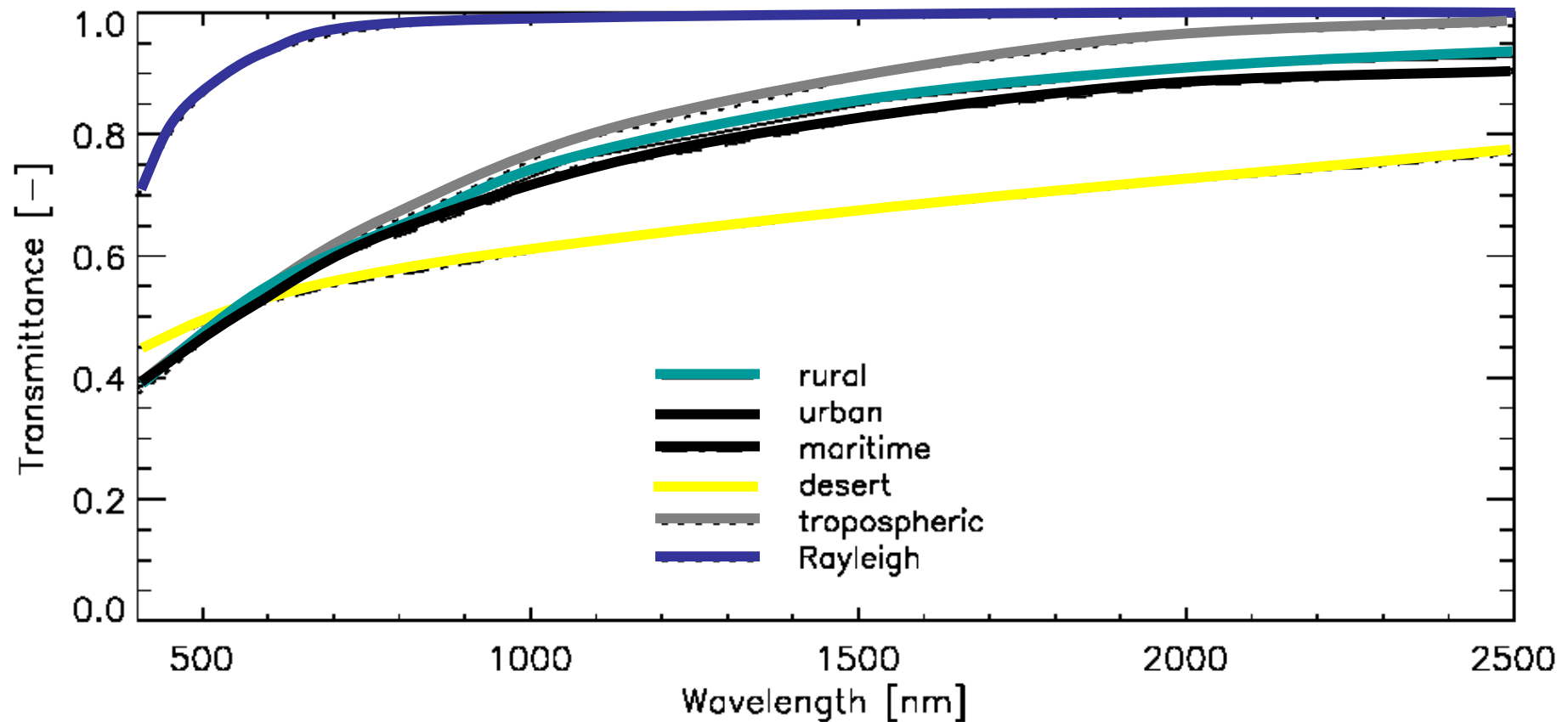
BRDF Typique



- ombrage
- Contraste entre sol/feuilles
- Diffusion multiple



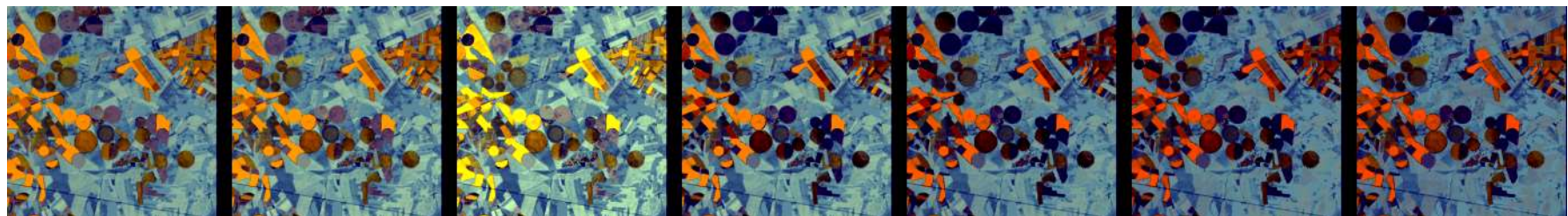
Diffusion par l'atmosphère



MODTRAN simulations of the transmittance of aerosol for a 10km visibility atmosphere
From Schaepman et al., 2002

Exemple de mesures directionnelles

TOC: sommet du couvert



-60°

-45°

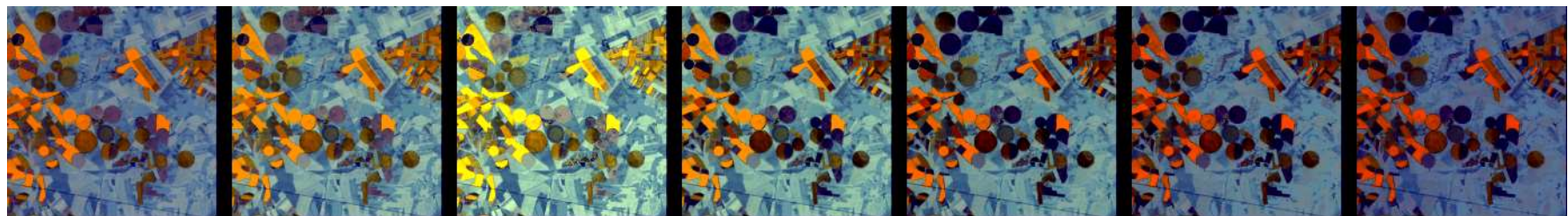
hot spot

nadir view

+22°

+45°

+60°



TOA: sommet de l'atmosphère

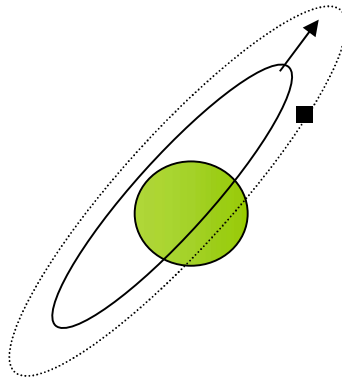
atmospheric visibility = 40 km

660 nm, 730 nm, 840 nm

Processus Élémentaires d'absorption

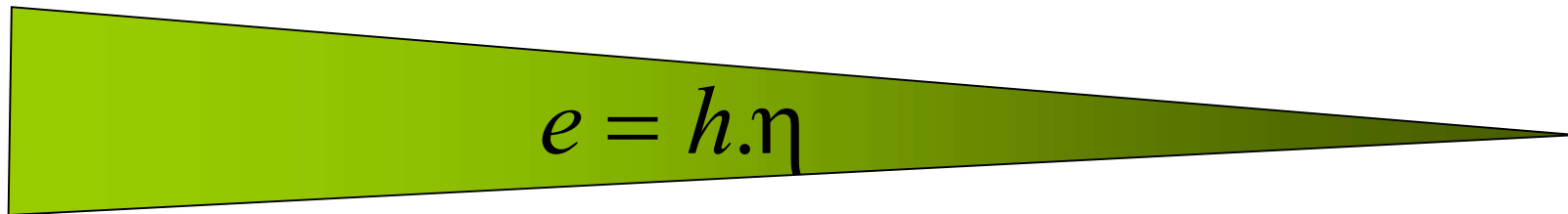
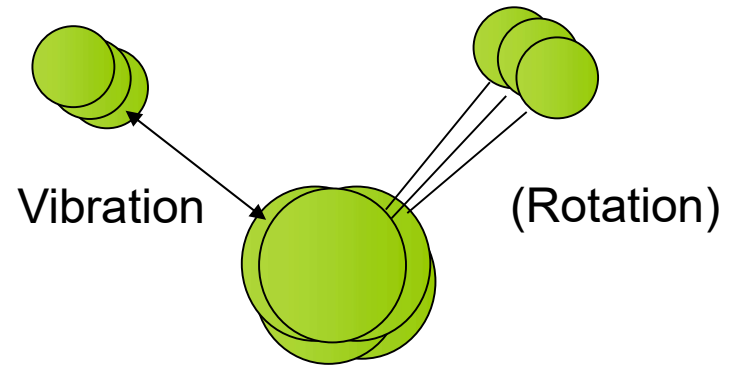
Absorption Atomique

transitions électroniques



Absorption Moléculaire

Vibration & rotation

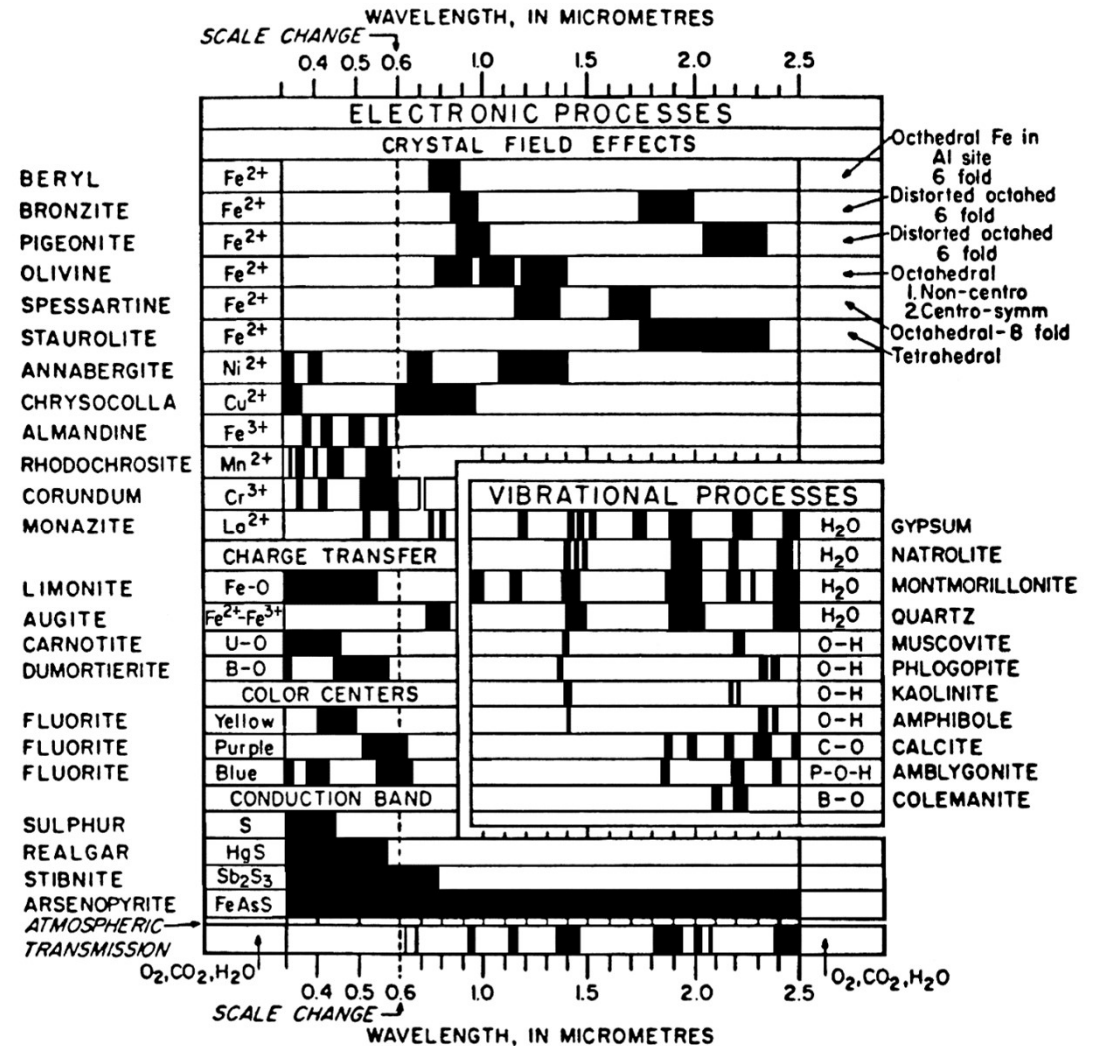


forte energie
domaines **Vis-PIR**

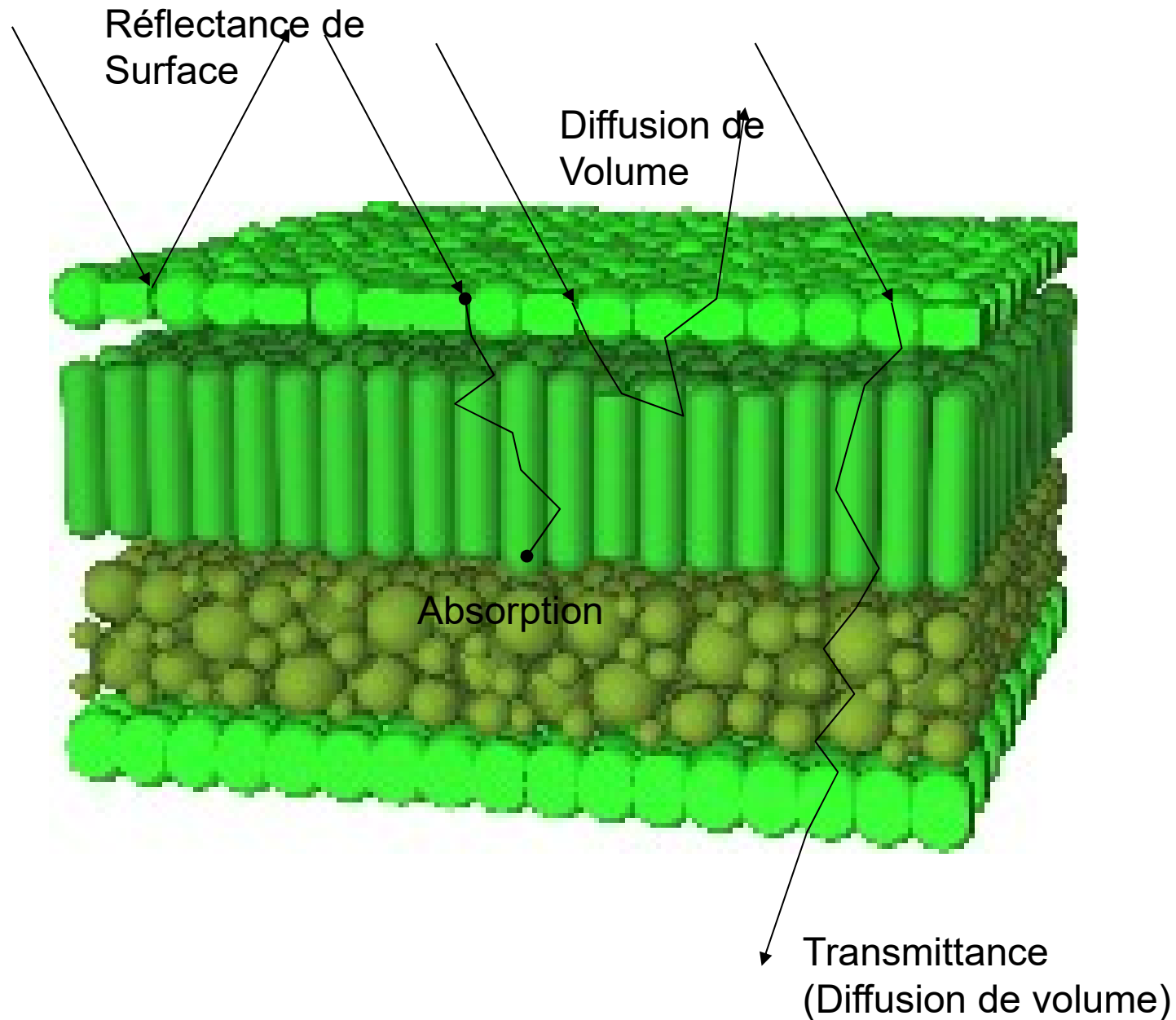
faible energie
domaines **SWIR-TIR**

Processus Élémentaires d'absorption

- processus Electroniques
 - effets de champs cristallins
 - **Transfert de Charge**
 - bandes de Conduction
 - centres Colorés
- processus Vibratoires

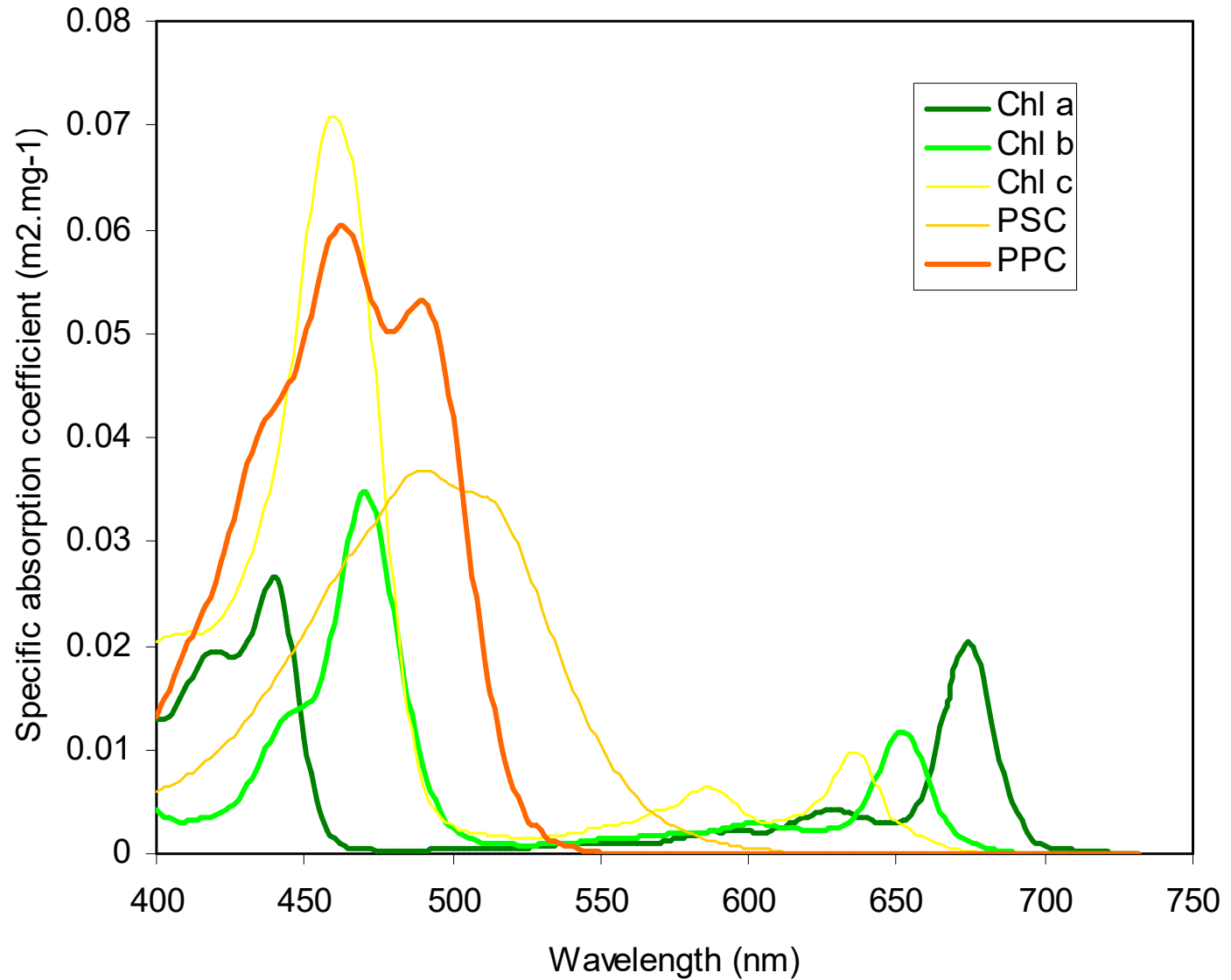


Structure de la feuille

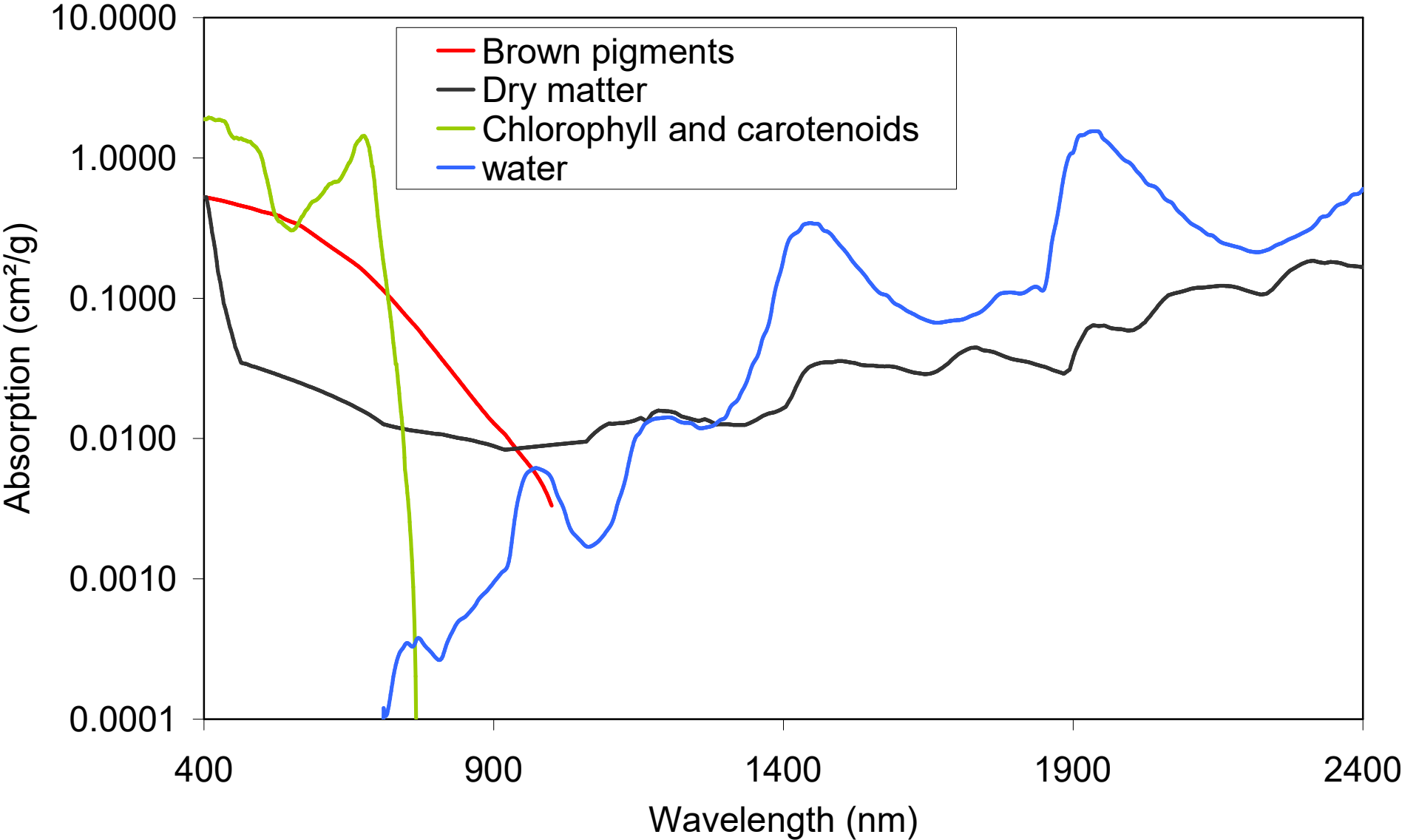


Pigments (transitions électroniques)

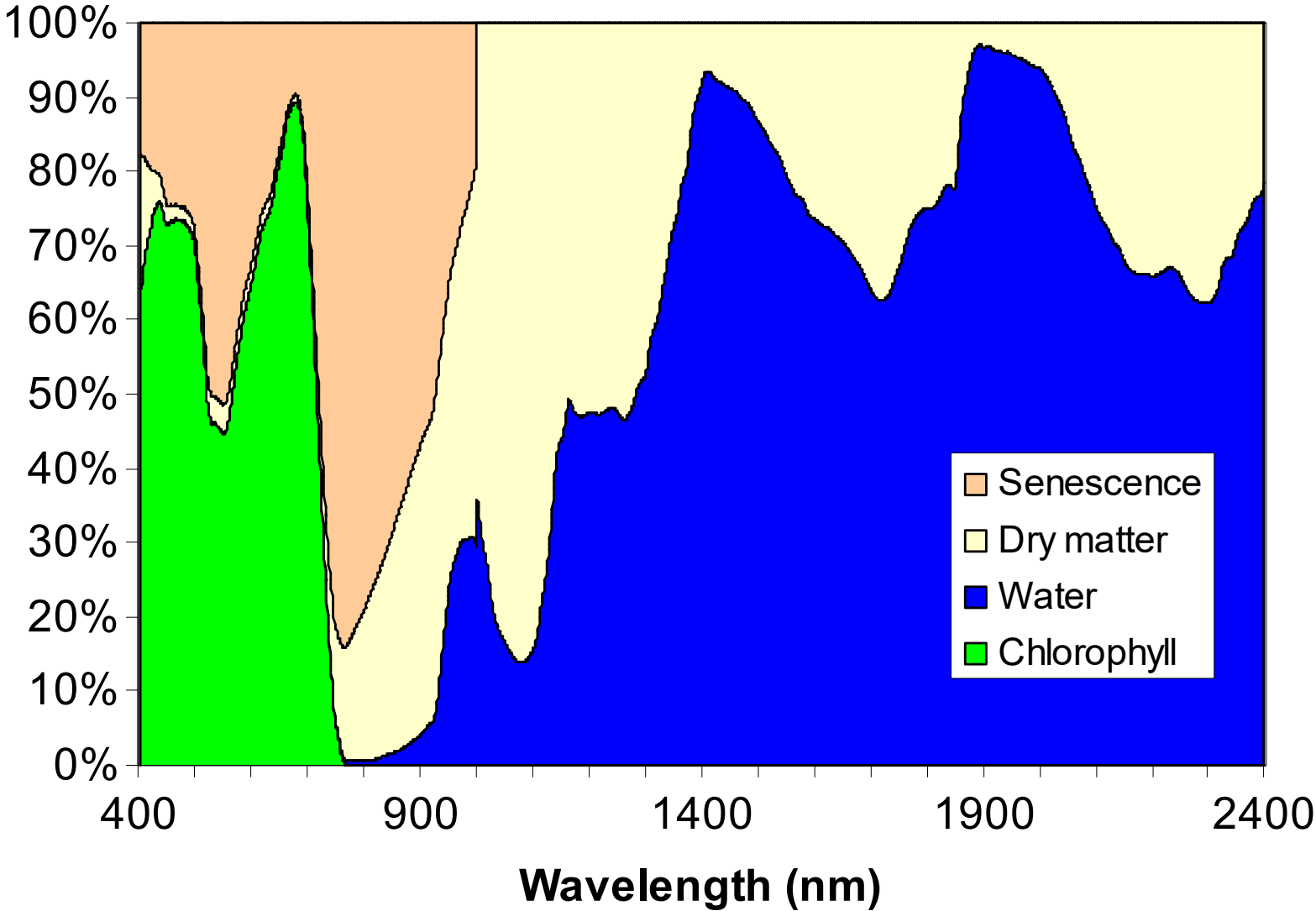
Chlorophyll a
Chlorophyll b
Carotenoids
Xanthophylls
...



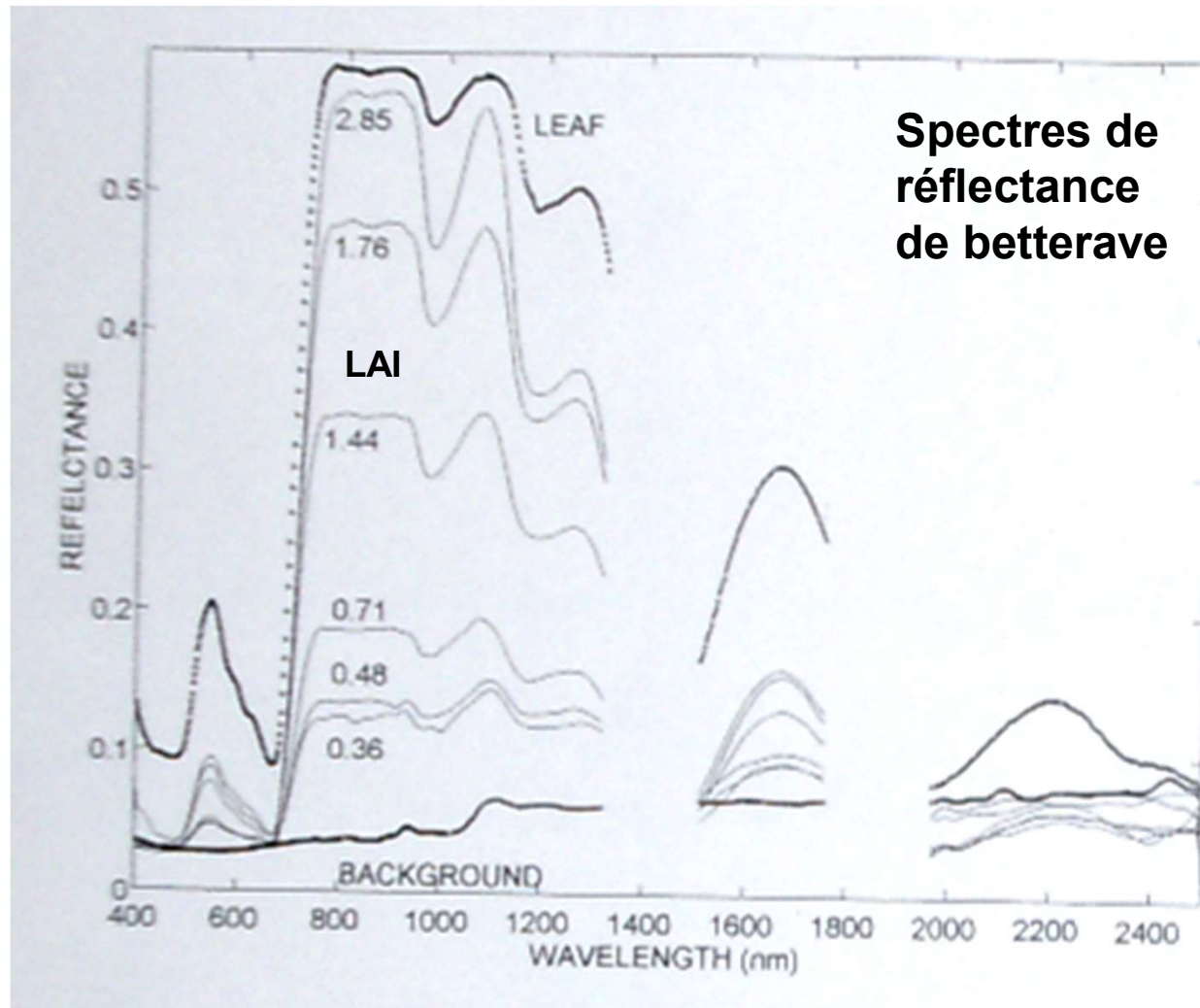
Absorption par les matériaux foliaires



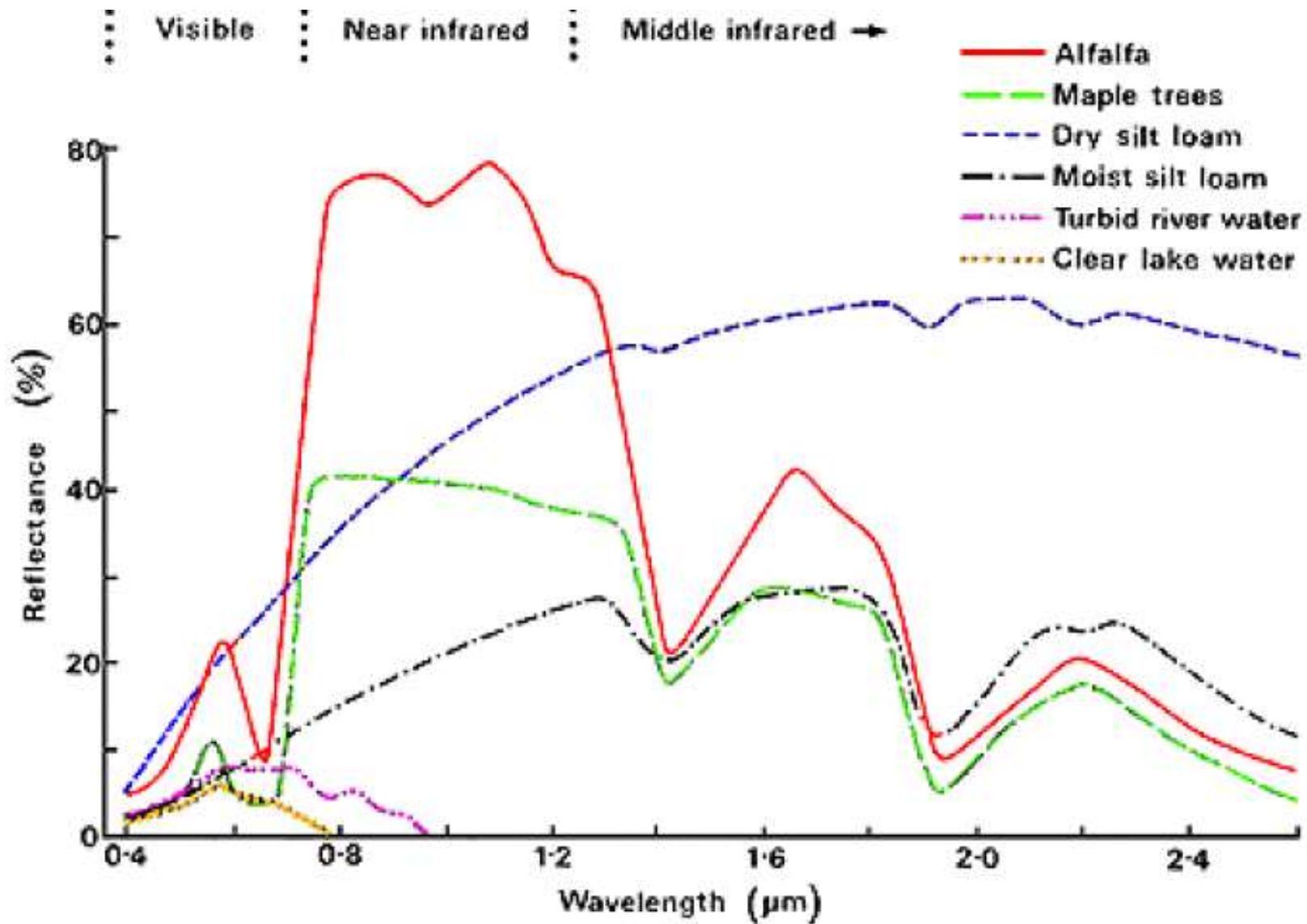
Contribution à l'absorption



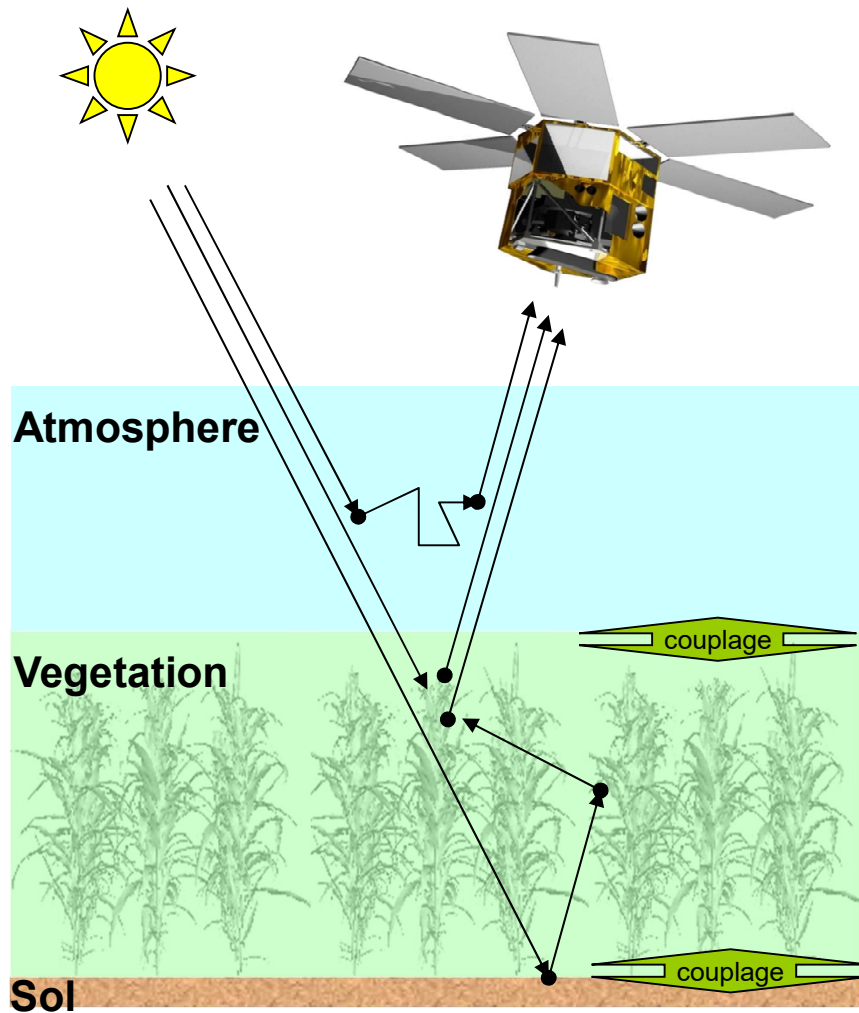
De la feuille au couvert



Spectre de réflectance de la surface



Les éléments du transfert radiatif



The flux radiatif enregistré par les capteurs dépend du couplage entre

Atmosphere: Pression, Aerosol, absorption gazeuse (H_2O , O_2 , CO_2 , O_3)

Vegetation: Structure, composition, propriétés optiques

Sol: rugosité, texture, structure, humidité et composition.